

DOI: <https://doi.org/10.21323/2618-9771-2024-7-1-125-136>

Поступила 07.02.2024

Поступила после рецензирования 20.03.2024

Принята в печать 25.03.2024

© Полищук Е. К., Котенкова Е. А., 2024

<https://www.fsjour.com/jour>

Научная статья

Open access

ПРОГНОЗИРОВАНИЕ ДЕЙСТВИЯ ЭНЗИМОВ ДЛЯ ИЗВЛЕЧЕНИЯ ВЕЩЕСТВ С АНТИМИКРОБНОЙ НАПРАВЛЕННОСТЬЮ ДЕЙСТВИЯ ИЗ ОРГАНИЗМОВ *SUS SCROFA* И *BOS TAURUS*

Полищук Е. К.,* Котенкова Е. А.

Федеральный научный центр пищевых систем им. В. М. Горбатова, Москва, Россия

КЛЮЧЕВЫЕ СЛОВА: АННОТАЦИЯ

антибиотические пептиды, трипсин, эластаза, коллагеназа, сайт расщепления, препропептид, биоинформационный анализ

Изучение антибиотических соединений животного происхождения, в частности антибиотических пептидов (AMP), является актуальной темой исследований в последнее время. Тем не менее извлечение эндогенных AMP является затруднительным процессом и требует применения принципов направленной энзиматической обработки на основании знаний о строении препропептидных молекул — предшественников AMP. В данной работе был проведен поиск присутствующих в организмах *Sus scrofa* и *Bos taurus* антибиотических пептидов, а также их предшественников с помощью баз данных The Antimicrobial Peptide Database и UniProtKB. В аминокислотных последовательностях препропептидов находили последовательность зрелого пептида и определяли сайты расщепления для трипсина, бактериальной коллагеназы (тип I) и нейтрофильной эластазы. По итогам поиска антибиотических пептидов *Sus scrofa* и 40 антибиотических пептидов *Bos taurus*. Согласно результатам определения сайтов расщепления в предшественниках AMP, энзимы были распределены от менее предпочтительного к более предпочтительному для высвобождения AMP следующим образом: бактериальная коллагеназа (тип I) < трипсин < нейтрофильная эластаза. Такой порядок обоснован не только количеством подходящих сайтов расщепления и их точностью, но и действием ферментов внутри зрелых AMP: важно учитывать, что энзимы могут «разрезать» сами пептиды, снижая тем самым их антибиотическую активность. Проведенный биоинформационный анализ применим как для осуществления первичного скрининга потенциала сырья, так и для определения подходящих энзимов с целью извлечения антибиотических соединений из организмов *Sus scrofa* и *Bos taurus*.

ФИНАНСИРОВАНИЕ: Исследование выполнено в рамках темы НИР FGUS-2024-0003 государственного задания ФГБНУ «ФНЦ пищевых систем им. В. М. Горбатова» РАН.

Received 07.02.2024

Accepted in revised 20.03.2024

Accepted for publication 25.03.2024

© Polishchuk E. K., Kotenkova E. A., 2024

Available online at <https://www.fsjour.com/jour>

Original scientific article

Open access

PREDICTION OF ENZYME ACTION FOR EXTRACTION OF ANTIMICROBIAL SUBSTANCES FROM *SUS SCROFA* AND *BOS TAURUS*

Ekaterina K. Polishchuk,* Elena A. Kotenkova

V. M. Gorbatov Federal Research Center for Food Systems, Moscow, Russia

KEY WORDS:

antimicrobial peptides, trypsin, elastase, collagenase, cleavage site, prepropeptide, bioinformatic analysis

ABSTRACT

The study of antimicrobial compounds of animal origin, particularly antimicrobial peptides (AMPs), is a current research topic. However, extracting endogenous AMPs is a challenging process and requires the application of targeted enzymatic processing principles based on knowledge of the structure of prepropeptide molecules — precursors of AMPs. In this study, a search was conducted for antimicrobial peptides present in *Sus scrofa* and *Bos taurus* organisms, as well as their precursors, using The Antimicrobial Peptide Database and UniProtKB databases. In the amino acid sequences of prepropeptides, the sequences of the mature peptides were found, and cleavage sites for trypsin, bacterial collagenase (type I), and neutrophil elastase were determined. As a result of the search for antimicrobial compounds in The Antimicrobial Peptide Database, 18 antimicrobial peptides from *Sus scrofa* and 40 antimicrobial peptides from *Bos taurus* were identified. Based on the results of determining cleavage sites in AMP precursors, enzymes were ranked from less preferred to more preferred for AMP release as follows: bacterial collagenase (type I) < trypsin < neutrophil elastase. This order is justified not only by the number of suitable cleavage sites and their accuracy but also by the action of enzymes within mature AMPs: it is important to consider that enzymes can “cut” the peptides themselves, thereby reducing their antimicrobial activity. The bioinformatics analysis conducted is applicable for both primary screening of raw material potential and determining of suitable enzymes for extracting antimicrobial compounds from *Sus scrofa* and *Bos taurus* organisms.

FUNDING: The article was published as part of the research topic No. FGUS-2024-0003 of the state assignment of the V. M. Gorbatov Federal Research Center for Food Systems of RAS.

1. Введение

История открытия веществ с противомикробными свойствами берет начало со второй половины XIX века, когда было обнаружено, что микроорганизмы ответственные за различные инфекционные заболевания, преследовавшие человечество с давних времен [1]. Первым противомикробным агентом в мире был сальварсан, средство от сифилиса, синтезированное в 1910 г. Эрлихом [2]. В 1935 г. Домагком и другими исследователями были разработаны сульфаниламиды. Эти препараты были синтетическими соединениями и имели огранич-

ния с точки зрения безопасности и эффективности. В 1928 году Флеминг обнаружил, что рост *Staphylococcus aureus* подавляется в зоне, окружающей синью плесень (гриб из рода *Penicillium*) в зараженных ей культуральных чашках, что привело к открытию антибиотиков, ингибирующих рост других микроорганизмов [1]. Антибиотик, названный пенициллином, начал применяться в клинической практике в 1940-х годах и возглавил эру антибиотической терапии, спасая жизни раненых во время Второй мировой войны. В течение последующих двух десятилетий один за другим разрабатывались новые

ДЛЯ ЦИТИРОВАНИЯ: Полищук Е. К., Котенкова Е. А. (2024). Прогнозирование действия энзимов для извлечения веществ с антибиотической направленностью действия из организмов *Sus scrofa* и *Bos taurus*. Пищевые системы, 7(1), 125–136. <https://doi.org/10.21323/2618-9771-2024-7-1-125-136>

FOR CITATION: Polishchuk, E. K., Kotenkova, E. A. (2024). Prediction of enzyme action for extraction of antimicrobial substances from *Sus scrofa* and *Bos taurus*. Food Systems, 7(1), 125–136. <https://doi.org/10.21323/2618-9771-2024-7-1-125-136>

классы противомикробных препаратов, однако вскоре стало ясно, что микроорганизмы обладают способностью приобретать устойчивость к антимикробным агентам антибиотической природы. В связи с возросшей резистентностью микроорганизмов антимикробные вещества, ранее эффективные, больше не применяются или подвергаются модификациям. Ученые постоянно ведут поиски новых агентов с антимикробной направленностью действия, считая ключевыми критериями их отбора эффективность и безопасность, а также учитывая время и возможность возникновения резистентности к действующему веществу у микроорганизмов. Большой интерес у исследователей вызывают антимикробные пептиды (АМП), которые представляют собой небольшие поликационные пептиды и являются основными факторами противоинфекционной защиты врожденного иммунитета множества живых организмов [3]. Основной механизм действия АМП заключается в нарушении целостности бактериальных клеточных мембран, также они участвуют в стимуляции иммунного ответа и в регуляции воспалительных процессов [4]. Было выявлено, что АМП ограничивают развитие устойчивости бактерий, по сравнению с другими антимикробными соединениями [4,5], что является большим преимуществом и позволяет рассматривать антимикробные пептиды как альтернативу традиционным антибиотикам.

Согласно анализу публикационной активности в базе данных Google Scholar, по запросу «antimicrobial peptide» за последние десять лет было опубликовано свыше 92 000 работ, а с начала 2023 года это число достигло более 17 700 публикаций. Коллективными усилиями многих исследователей на основе освоенных знаний в области антимикробных пептидов в 2003 году была разработана база данных The Antimicrobial Peptide Database [6]. К настоящему времени в ней насчитывается 3 425 антимикробных пептида из шести царств: 385 бактериоцинов/пептидных антибиотиков — из бактерий, 5 — из архей, 8 — из протистов, 25 — из грибов, 368 — из растений и 2 489 — из животных, включая некоторые синтетические пептиды [6]. К 2024 году количество ресурсов, содержащих информацию об антимикробных пептидах различного происхождения, существенно возросло и составляет более 25 баз данных [7]. В настоящее время число ученых, исследующих антимикробные пептиды, довольно велико, как и диапазон объектов исследований.

Классифицировать АМП можно по многим признакам: по направленности действия (антибактериальные, инсектицидные, противогрибковые, противовирусные АМП), по физико-химическим свойствам (нейтральные, анионные, катионные), по размеру (крупные (50–100 аминокислотных остатков — а. о.), малые (10–24 а. о.), средние (25–50 а. о.) и т. д. [8]). Стоит отметить, что большинство изученных антимикробных пептидов млекопитающих являются компонентом врожденного иммунитета и были выделены из нейтрофильных гранулоцитов. В основном они синтезируются в виде предшественников — препропептидных молекул, состоящих из N-концевой сигнальной последовательности (которая способствует нащелыванию на эндоплазматический ретикулум), просегмента и C-концевого катионного пептида. Последний, в свою очередь, демонстрирует антимикробную активность после отщепления от остальной части молекулы [8,9,10] посредством посттрансляционных модификаций. Препропептид удерживает C-концевой пептид в неактивной форме до его дальнейшей обработки и подготовки к высвобождению, когда это необходимо.

Следует учитывать, что АМП могут быть токсичными для некоторых клеток и нормальной микрофлоры организма-хозяина при определенных условиях. Это говорит о том, что иммунитет организма-хозяина должен поддерживать тонкий баланс: АМП должны быть достаточно мощными, чтобы быстро ингибиовать патогенные микроорганизмы, но не настолько, чтобы нарушать баланс микробиоты или повреждать ткани организма-хозяина [11]. По-видимому, именно это условие обеспечивает надежную «упаковку» пептида и нейтрализацию его активности до сигнала об «атаке» патогеном. Из-за потенциально вредного воздействия зрелых АМП на клеточные мембрany млекопитающих процессинг многих АМП также регулируется путем их хранения в секреторных гранулах [12].

Несмотря на актуальность изучения антимикробных пептидов в настоящее время, большей популярностью пользуются синтезы рекомбинантных АМП с известной или биоинформационически вычищенной последовательностью, предназначенные для дальнейшего использования в качестве фармпрепаратов, пестицидов, пищевых консервантов и т. д. [13]. Данные технологии достаточно востребованы, хорошо воспроизводимы в отношении многих бактериоцинов, но имеют некоторые сложности при воспроизведении в отношении АМП млекопитающих, что обусловлено различиями между прокариотами и эукариотами. Анализ научных публикаций показал, что мно-

гие ученые озадачены вопросами поиска новых АМП, но лишь некоторые заинтересованы вопросами эффективного извлечения АМП из растительного сырья [14], насекомых [15], беспозвоночных [16].

Извлечение эндогенных антимикробных пептидов из эукариотических организмов посредством биотехнологических приемов представляет собой затруднительную задачу, которая требует решения. Стоит отметить, что принципы «направленной» энзиматической обработки для интенсификации извлечения АМП являются сложной и малоизученной областью исследований, однако довольно перспективной. В связи с этим целью настоящего исследования было прогнозирование действия энзимов для направленного извлечения антимикробных соединений на базе знаний о структуре их предшественников из организмов *Sus scrofa* и *Bos taurus*.

2. Объекты и методы

Поиск аминокислотных (АК) последовательностей зрелых антимикробных соединений в организмах *Sus scrofa* и *Bos taurus* осуществлялся с использованием базы данных The Antimicrobial Peptide Database [6]. Для этого переходили во вкладку AMP Database Search и в графе Source Organism указывали *Sus scrofa/Bos taurus*. На странице каждого обнаруженного пептида копировали ID-номер пептида из графы SwissProt ID, который вставляли в строку поиска базы данных UniProtKB [17] для поиска АК-последовательности предшественника данного пептида. В случае, если ID-номер пептида в графике SwissProt не был указан, применялся инструмент Peptide Search (<https://www.uniprot.org/peptide-search>), позволяющий найти предшественник искомого АМП по аминокислотной последовательности последнего с учетом таксономии.

В качестве энзимов, расщепляющих аминокислотные последовательности препропептидных молекул, рассматривали трипсин, бактериальную коллагеназу (тип I) и нейтрофильную эластазу, предпочтительные сайты расщепления для которых определяли посредством литературного поиска. В АК-последовательностях препропептидов находили последовательность зрелого пептида и выявляли сайты расщепления для каждого из энзимов. Для оценки среднего процентного содержания АК-остатков в АМП, которые должны присутствовать в сайтах расщепления в соответствии с литературными данными о протеолитическом действии отобранных энзимов, после определения списка АК-последовательностей зрелых антимикробных соединений для *Sus scrofa* и *Bos taurus* в базе данных The Antimicrobial Peptide Database [6] внизу списка переходили во вкладку Select all and see sequence statistical data.

3. Результаты и обсуждение

По итогам поиска антимикробных соединений в базе данных The Antimicrobial Peptide Database [6] было выявлено 18 антимикробных пептидов *Sus scrofa* и 40 антимикробных пептидов *Bos taurus*. Результаты определения сайтов расщепления в препропептидных предшественниках АМП для трипсина, эластазы и коллагеназы представлены в Таблицах 1, 2 и 3 соответственно.

Трипсин представляет собой сериновую протеазу, вырабатываемую поджелудочной железой. Этот фермент преимущественно гидролизует связи аминокислотных остатков лизина и аргинина (Arg (R) -|- Xaa (нейтральная аминокислота), Lys (K) -|- Xaa) на C-концевой стороне белка (Рисунок 1) [18,19,20].

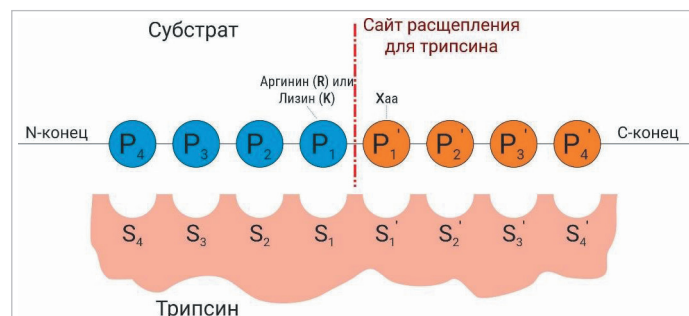


Рисунок 1. Предпочитительный сайт расщепления для трипсина

Примечание: сайты узнавания субстрата пронумерованы S_1 – S_n в направлении N-конца субстрата и S_1' – S_n' в направлении C-конца. Аминокислотные остатки субстрата пронумерованы P_1 – P_n и P_1' – P_n' соответственно. Нумерация начинается с разрезаемой связи.

Note: The substrate binding sites downstream of the cleavage site are numbered S_1 – S_n towards the N-terminus of the substrate and S_1' – S_n' towards the C-terminus. The substrate residues are numbered P_1 – P_n and P_1' – P_n' respectively. The numbering starts at the scissile bond.

Окончание таблицы 1

№	Название зрелого АМП	Сайты расщепления
6.	Бета-дефенсин 2	MRLHHLLAL LFLVLSAGSG FTQGVRNHVT CRINRGFCV IRCPGRTRQI GTCFGPRIKC CRSW
7.	Бета-дефенсин 3	LALLFLVLSA GSGFTQGVRN HVTCRINRGF CVPIRCGPRT RQIGTCF GPR IKCCRSW
8.	Бета-дефенсин 4	MRLHHLLAV LFLVLSAGSG FTQVRNPOS CRWNMGVCIP FLCRVMGROI GTCFGP RVPC CRR
9.	Бета-дефенсин 5	MRLHHLLLVL LFLVLSAGSG FTQVVRNPOS CRWNMGVCIP ISCPGNMROI GTCFGP RVPC CRRW
10.	Бета-дефенсин-6	QGVRNHVT CR YGGFCVPIR CPGRTRQIGT CFGRPV KCCR RW
11.	Бета-дефенсин 7	MRLHHLLLAL LFLVLSAGSG FTQGVRNFVT CRINRGFCV IRCPGHRRQI GTCLGPRIKC CR
12.	Бета-дефенсин 8	MRLHHLLLAL LFLVLSAGSG FTQGVRNFVT CRINRGFCV IRCPGHRRQI GTCLGPQIKC CR
13.	Бета-дефенсин 9	LALLFLVLSA GSGFTQGVRN FVTCRINRGF CVPIRCGHR RQIGTCLAPQ IKCCR
14.	Бета-дефенсин 10	MRLHHLLLLL LLVVLSSGSG FTQGVRSYLS CWGNRGICLL NRCPGRMRQI GTCLAPRVKC CR
15.	Бета-дефенсин 11	MRLHHLLLAL LFLVLSAGSG ISGPLSCRRN GGVCIPIRCP GPMRQIGTCF GRPVKCCRSW
16.	Бета-дефенсин 12	MRLHHLLLAL LFLVLSAASG ISGPLSCGRN GGVCIPIRCP VPMRQIGTCF GRPVKCCRSW
17.	Бета-дефенсин 13	MRLHHLLLAL LFLVLSAA SG ISGPLSCGRN GGVCIPIRCP VPMRQIGTCF GRPVKCCRSW
18.	Индолицидин	MQTQRASLSL GRWSLWL LGLVPSASAQ ALSYREAVLR AVDQLNESS EANLYRLLEL DPPPKNEDL GTRKPVSVTV KETVCPRTIQ QPAEQCDFKE KGRVKQCVGT VTLDPSNDQF DLNCNELQS ILPWKPWWP WRRG
19.	Семиналплазмин	MMAGRRSWPA MATVLLALLV CLGELVDSP KQPSDEKASPD KHHRFSLSRY AKLANRLANP KLETFLSKW IGDRCNRSVK
20.	Антимикробный пептид трахеи	MRLHHLLLAL LFLVLSAWSG FTQGVGNPVS CVRNKGICVP IRCPGSMKQI GTCVGRAVKC CRKK
21.	BMAP-27	METQRASLSL GRWSLWL LGLALPSASAQ ALSYREAVLR AVDQFNERSS EANLYRLLEL DPPPKEEDEN PNIPKPVFSR VKE TVCPRTS QQPAEQCDFK ENGLVKQCVG TVTLDAVKGK INVTCCELSQ VGRFKRFRKK FKFLFKKLSP VIPLHLG
22.	BMAP-28	METQRASLSL GRWSLWL LGLALPSASAQ ALSYREAVLR AVDQNLNEKSS EANLYRLLEL DPPPKEEDEN PNIPKPVFSR VKE TVCPRTS QQSPEQCDFK ENGLLKECVG TVTLDQVGNS FDITCAVQPS VGGLRSLGRK ILRAWKKYGP IIIVPIIRIG
23.	BMAP-34	METQRASFSL GRSSWL LGLVPSASAQ DLSSYREAVLR AVDQFNERSS EANLYRLLEL DPPPEQDVH PGARKPVST VKE TVCPRTT PQPPEQCDFK ENGLVKQCVG TVTRYWIRGD FDITCNQIS AGLFRRLRDS IRRQQKILE KARRIGERIK DIFRG
24.	Лингвальный антимикробный пептид	MRLHHLLLAL LFLVLSAGSG FTQGVRSNSQS CRRNKGICVP IRCPGSMRQI GTCLGAQVKC CRKK
25.	Хромбацин	AAEFPDFYDSEEQMGPHQEAEDEKDRA DQRVLTEEEKKELENLAAMDL ELEQKIAEKFSQR
26.	Энкелитин	MARFLGLCTW LLALGPGLLA TVRAECSQDC ATCSYRLARP TDNLPLACTL ECEGKPLSLK TWETCKELLQ LTKELEPPDA TSALKKYYGF M KRYGGFMKK MDELYPLEVE EEANGGEVLR KRYGGFMKK AEEDDGLGNS SNLLKELLGA GDQREGSLHQ EGSDAEDVSK RYGGFMRGLK RSPHLEDET K ELQKRYGGFM RRVGRPEWWM DYQKRYGGFL KRFAEPLSE EEEGESYSKEV PEME KRYGGF MRF
27.	TAP 20N	NPVSCVRNKGICVP IRCPGNM KQIGTCVGRAVKCRKK
28.	Секретолитин	MQPAALLGLL GATVVAVSS MPVDIIRN HNE EVVTHCIIEV LSNALLKSSA PPIPECRQV LKKNKGELKN EEESENENTR FEVRLRDP A DTSEAPGLSS REDSGEADAO VPTVADTESG GHSRAGEP PGSOVAKEAK TRYSKSEGON REEEMVKYOK RERCEVGSEE RLSEPGKAQ TAFLNQRNQTA PAKKEELVSR YDTQSARCLE KSISRERSSQ ESGEETKSQE NWPQELQRHP EGQEAPEGSE EDASPEVDK R HSRPRHHG R SPDRSSQEG NPPLEESHV GTGNSDEEKA RHPAHFRALE EGAEYGEEV RHSAAQAPGD LQGARFGGRG RGEHQALRRP SEESLEQENK RHGLSPDLNM AQGYSEESEE ERG PAPG PST RARGGEAAAY STLQQTDEKR FLGETHHRVQ ESQRDKARR LPGELRN YLD YGEEKGEEAA RGKWPQPGDP RDADENREA RLRGKQYAPH HITEKRLGEL LNPFYDPSQW KSSRERKDP MDDSFLEGE ENGLTLNEK FPEYNEYDW W EKKPFEEDVN WGYEKRNPV KLDLKRQYDR VAELDQLHY RIKSAEFPDF YDSEEQMSQ HTAENEELKA GQGVLT EEE KELENLAAMD LEL QKIAEKFSQT RRG
29.	Хромацин	MRSAAVALL LCAGQVIALP VNSPMNKGDT EVMKICIVEV S DTLSKPSM PVSKECFETL RGDERILSIL RHQNLLELQ DLALQGAKER THQOKKHSSY EDELSVELEK PNDQAEPKEV TEEVSSKDAE EKRDFFKEVE KSDEDSDGDR PQASPLGPG PKVIEDNQAP GEEEAEPSNA HPLASLSPSK YPGPOAKEDS EGPSOQPASR EKLSAEQGR QTEREEEEEK WEEAEAREKA VPEEESPPTA AFKPPPSLGN KETQRAAPGW PEDGAGKMGA EEAKEPEGKG EWAHSRQEEE EMARAPQVLF RGGKSGEPEQ EEQLSKEWED AKRWSKMDQL AKELTAEKRL EGEEEEEEEDP DRSMRLSFRA RGYFRGPGL QLRRGWRPNS REDSVEAGLP LQVRYPEEK KEEEGSANRR PEDQELESLS AIEAELEKVA HQLEEL RRG
30.	Вазостатин-1	MRSAAVALL LCAGQVIALP VNSPMNKGDT EVMKICIVEV S DTLSKPSM PVSKECFETL RGDERILSIL RHQNLLELQ DLALQGAKER THQOKKHSSY EDELSVELEK PNDQAEPKEV TEEVSSKDAE EKRDFFKEVE KSDEDSDGDR PQASPLGPG PKVIEDNQAP GEEEAEPSNA HPLASLSPSK YPGPOAKEDS EGPSOQPASR EKLSAEQGR QTEREEEEEK WEEAEAREKA VPEEESPPTA AFKPPPSLGN KETQRAAPGW PEDGAGKMGA EEAKEPEGKG EWAHSRQEEE EMARAPQVLF RGGKSGEPEQ EEQLSKEWED AKRWSKMDQL AKELTAEKRL EGEEEEEEEDP DRSMRLSFRA RGYFRGPGL QLRRGWRPNS REDSVEAGLP LQVRYPEEK KEEEGSANRR PEDQELESLS AIEAELEKVA HQLEEL RRG
31.	Говяжий ингибитор трипсина из поджелудочной железы	MKMSRLCLSV ALLVLLGTLA ASTPGCDTSN QAKAQ RPDFC LEPPYTPGCK ARIIRYFYNA KAGLCQTFVY GGCRAKRNNF KSAEDCMRTC GGA IPGWENL
32.	Казоцидин-2	MKFIFTCLLAVALAKNTMEHVSSEESIISQETY KQEKNMAINPS KENLCSTFCKE VVRNANEEEYSIGSSSEESAEVATEEV KITVD DKHYQKALNEINQFY QKFPQYLQYLYQGPVILNPWDQV KRN A VPITPTLN REQLSTSEENS KKTVDMESTEVFT KK TKL TEEEKNR LNFLKKISQRYQKFALPQYLKTVYQHQKAMKP WIQPKTKV I PYVRYL
33.	Буфорин-1 (гистон H2A)	AGRKGQGGKV RAKAKTRSSR AGLQFPVGRV HRLLRKGNY
34.	Гистон H2B	MPEPSKSAPA PKKGSKKAVT KA QKKGDKK R KRSRKE SYSV YVY KVLQVH PDTGISSKAM GNMNSFVN DI FERIAGEASR LAHYKRSTI TSREIQTAVR LLLPGELAKH AVSEGT KAVT K YTSSK
35.	Гистон H3	MARTKOTARK STGGKAPRK LATKA ARKSA PATGGVKKP RYRPGTVAL R IRRYQKSTE LIJRKLPFQR LVREIAQDFK TDLRQFSSAV MA LQACEAY LVGLFEDTNL CAIHA KRTV T MP KDIQLARR IRCE RA
36.	Гистон H4	MSGRGKGGKGLGKGKA RHRKVR LDN NIQGIT KPAIRRLARRGVKRISGLIYEETRCV LKIFLENVI RD AVTYTEHARRK T VTAMD VYALKROGR TL YFGGG
37.	P3 (остатки гемоглобина 97-114)	MVLSAADKG NVKA AWG KVGGHAAEYGA EALER MFLSFPTT KTYFPHFDL SHGSAQW KG HGA KVAA ALTKA VEH LDDLP GALSEL SDLH A KLR D PVNF KLLSHSLVTLASHL PSDFTP AVHASLD KFLANVSTVLTSKYR
38.	Говяжий бета-казеин	MKV LILAC LVALALA RELEELNV PG EIVESL SSSE S EITR INKKIEKF QSEEEQ QTEDELDQ KIH PFA QT QSLV YPF PG PIPN SLPQ NIPP LTQTPVVVPFLQPE VMGS KVKE AMAP KH KMPFPK Y PVEPFTESQSLT LDV ENL HLP PLLQ SWM HQPH QPLP PT VMFPPQS VLSLSQSKVLP VPQKA V PYP QR DMPIQAFLLYQEPV LGPV RGP FP II
39.	BSN-37	METQRASLSL GRC SLWLL LGLVLP S ASA QALSY REA VLR A DVQ F NERSSE ANLY R LLE DPT P N D D P G T R K P V S F R V K E T D C P R TSQQPLQ E Q C D F KEN GLV KQ CV GT VL D P S ND Q F D I N C N E L Q S V R F R P I R R P I R P F Y P P F R P I R P I F P P I R P F R P P LG P F G R R
40.	B34	MGLSDGEWQLV LNAWG KV EAD VAG H QEV L I RL FGT GH P E T L E KFD K F K H L K T EA M KASE DL K K H G N T V L T AL G G I L K K G H H E AEV KHLAESHANK H K P V K Y L E F IS DAI HV L HAK HPS DFG A DA Q A M S K A L E L F R N DMAA Q Y KV LG F HG

Примечание: желтым и зеленым отмечены зрелые антимикробные пептиды, красным — сайты действия фермента.

№	Название зрелого АМП	Сайты расщепления
8.	Бета-дефенсин 4	MRLHHLLAV LFLVLSAGSG FTQRVRNPQS CRWNMGVCIP FLCRVMRQI GTCFGPRVPC CRR
9.	Бета-дефенсин 5	MRLHHLLVL LFLVLSAGSG FTQVVRNPQS CRWNMGVCIP ISCPGNMRQI GTCFGPRVPC CRRW
10.	Бета-дефенсин-6	QGVRNHVTCR IYGGFCVP IRCPTRQIGT CFGRPVKCCR RW
11.	Бета-дефенсин 7	MRLHHLLAL LFLVLSAGSG FTQGVRNFVT CRINRGFCVP IRCPGHRROI GTCLGPRIKC CR
12.	Бета-дефенсин 8	MRLHHLLAL LFLVLSAGSG FTQGVRNFVT CRINRGFCVP IRCPGHRROI GTCLGPQIKC CR
13.	Бета-дефенсин 9	LALLFLVLSA GSGFTQGVRN FVTCRINRGF CVPIRCGHR RQIGTCLAPQ IKCCR
14.	Бета-дефенсин 10	MRLHHLLLLL LLVVLSSGSG FTQGVRSYLS CWGNRGICLL NRCPGMRQI GTCLAPRVKC CR
15.	Бета-дефенсин 11	MRLHHLLAL LFLVLSAGSG ISGPLSCRN GGVCIPIRCP GPMRQIGTGF GRPVKCCRSW
16.	Бета-дефенсин 12	MRLHHLLAL LFLVLSAASG ISGPLSCGRN GGVCIPIRCP VPMRQIGTGF GRPVKCCRSW
17.	Бета-дефенсин 13	MRLHHLLAL LFLVLSAASG ISGPLSCGRN GGVCIPIRCP VPMRQIGTGF GRPVKCCRSW
18.	Индолизидин	MQTQRASLSL GRWSLWL LLL GLVVPSASAQ ALSYREAVL AVDQNLNESS EANLYRLL EPPPKNEDL GTRKPVSFTVKETVCPRTIQ QPAEQCDFKE KGRVKQCVGT VTLDPSNDQF DLNCNELQSV LPWKWPWWP WRKG
19.	Семиналплазмин	MMAGRRSWPA MATVLLALLV CLGEVLDSPK QPSDEKASPD KHHRFSLSRV AKLANRLANP KLLETFLSKW IGDRGNRSVK
20.	Антимикробный пептид трахеи	MRLHHLLAL LFLVLSAWSG FTQGVGNPVS CVRNKGICVP IRCPGSMQI GTCVRAVKC CRKK
21.	BMAP-27	METQRASLSL GRWSLWL LLL GLALPSASAQ ALSYREAVL AVDQNLNESS EANLYRLL EPPPKNEDL PNIPKPVFSRKETVCPRTS QQPAEQCDFK ENGLVKQCVG TVTLDVAKGK INVTCEELQS VGRFRFRKFKKLFFKLLSP VPLHLHG
22.	BMAP-28	METQRASLSL GRWSLWL LLL GLALPSASAQ ALSYREAVL AVDQNLNEKSS EANLYRLL EPPPKNEDL PNIPKPVFSRKETVCPRTS QOSPEQCDFK ENGLKECVG TVTLDQVGSN FDITCAVPOS VGLRSLSGRK ILRAWKKYGP IIVPIIRIG
23.	BMAP-34	METQRASFLS GRSSLWL LLL GLVVPSASAQ DLSYREAVL AVDQNLNESS EANLYRLL EPPPQEVDVH PGARKPVFSRKETVCPRTT PQPPEQCDFK ENGLVKQCVG TVTRYWIRGD FDITCNNIQS ACLFRLRDS IRRQQKILE KARRIGERIK DIFRG
24.	Лингвальный антимикробный пептид	MRLHHLLAL LFLVLSAGSG FTQGVRNSQS CRRNKGICVP IRCPGSMQI GTCLGAQVKC CRKK
25.	Хромбацин	AAEFPDFYDSEEQMGPHQEAEDEKDRADQRLTEEKKLELENLAAMDLELQKIAEKFSQR
26.	Энклитин	MARFLGLCTW LLALGPGLLA TVRAECSQDC ATCSYRLARP TDLNPLACTL ECEGKLPSLK TWETCKELLQ LTKELELPDA TSALSKQEES HLLAKKYGGF MKRYGGFMKK MDELYPLEVE EEANGGEVLG KRYGGFMKKD AEEDDGLGNS SNLLKELLGA GDQREGSLHQ EGSDAEDVSK VEGGFMRLKL RSPHLEDETK ELQKRYGGFM RRVGRPEWWM DYQKRYGGFL KRFAEPLSE EEEGESYSKEV PEMEKRYGGF MRF
27.	TAP 20N	NPVSCVRNKGICVP IRCPGNMKQIGTCVCRACKRKK
28.	Секретолитин	MOPAALLGLL GATVVAAVSS MPVDIRHNHE EVVTCHIIEV LSNALLKSSA PPITPECRQV LKKNGKELKN EEKSENENTR FEVRLLRDPA DTSEAPGLSS REDSGEGDAQ VPTVADTESG GHSRERAGEP PGSQVAKEAK TRYSKSEGQN REEEMVKYQK RERGEVGSSE RLSEGPDKA QTAFLNQRNQPT PAKKEELVSR YDTQSRGLE KSHSRERSSQ ESGEETKSQE NWPQELQRHP EGQEAPGESE EDASPEVDRK HSRPRHHHGR SRPDRSSQEG NPPLLEESHH GTGNSDEEKA RHPAHFRALE EGAEYGEEV RHAASQAPGD LGQARFGGRG RGEHQALRRP SEESLEQENK RHGLSPDLNM AQGYSEEESE ERGPAPGSPY RARGGEAAAY STLGQTDERK FLGETHHRVQ ESQRDKARR LPGELRNYL YGEKGEEAA RGKWPQPGDP RDADENREEA LRLRGKQYAPH HITEKRLGEL LNPFYDPSQW KSSRFERKDP MDDSFLEGEE ENGLTNEKN FFPEYYNDWW EKKPFEEDVN WGYEKRNPVP KLDLKQYDR VAELDQLLHY RKKSAAEPDF YDSEEQMSPQ HTAENEELKA GQGVLTEEE KELENLAAMD LELOKIAEKFGTTRGG
29.	Хромацин	MRSAAVALL LCAGQVIALP VNSPMNKGDT EVMKCIIVEI SDTLKPSPM PVSKECFETL RGDERILSIL RHQNLKELQ DLALQGAKER THQQKKHSSY EDELEVLKE PNDQAEPEKEV TEEVSSKDAE EKRDFFKEVE KSDEDSDGDR PQASPLGP PKVEEDNQAP GESEEAPSNA HPLASLSPK YPGPQAKEDS EGPSQGPASR EKGLSAEQR QTEREEEEE WEEAEAREKA VPEEESSPTA AFKPPPSLGN KETQRAAPGW PEDGAGKMGA EAAPPEGKG EWAHSRQEE EMARAPQVLF RGGKSGEQ EQOLSKEWED AKRWSKMDQL AKELTAEKL EGEEEEEDP DRSMRLSFR A RGYFRGPGL QLRRGWRPNs REDSVEAGLP LQVRGYPEEK KEEEGSANRR PEDQELESLS AIEAELEKVA HQLEELRRG
30.	Вазостатин-1	MRSAAVALL LCAGQVIALP VNSPMNKGDT EVMKCIIVEI SDTLKPSPM PVSKECFETL RGDERILSIL RHQNLKELQ DLALQGAKER THQQKKHSSY EDELEVLKE PNDQAEPEKEV TEEVSSKDAE EKRDFFKEVE KSDEDSDGDR PQASPLGP PKVEEDNQAP GESEEAPSNA HPLASLSPK YPGPQAKEDS EGPSQGPASR EKGLSAEQR QTEREEEEE WEEAEAREKA VPEEESSPTA AFKPPPSLGN KETQRAAPGW PEDGAGKMGA EAAPPEGKG EWAHSRQEE EMARAPQVLF RGGKSGEQ EQOLSKEWED AKRWSKMDQL AKELTAEKL EGEEEEEDP DRSMRLSFR A RGYFRGPGL QLRRGWRPNs REDSVEAGLP LQVRGYPEEK KEEEGSANRR PEDQELESLS AIEAELEKVA HQLEELRRG
31.	Говяжий ингибитор трипсина из поджелудочной железы	MKMSRLCLSV ALLVLLGTLA ASTPGCDTSN QAKAQRPDFC LEPPYTGPCK ARIIRYFYN A KAGLCQTFVY GGCRAKRNPF KSAEDCMRTC GGAQGPWENL
32.	Казоцидин-2	MKFFIFTCLLAVALAKNTMEHVSSEESIISQETYKQEKNMAINPSKENLCTFCKEVVRNANEEYSIGSSESSEAEVATEEVKITVD DKHYQKALNEINQFYQKFPQYLQYLYQGPVILNPWDQVKRNAVTPITPLNREQLSTSEENSKKTVDMESTEVFTKKTKLTEEKNR LNFLKKISQRYQKFALPQYLTQVYQHQKAMKPWIQPKTKVIPYVRYL
33.	Буфорин-1 (гистон H2A)	AGRHKQGGKV RAKAKTRSSR AGLQFPVGRV HRLLRKGNY
34.	Гистон H2B	MPEPKSASPAA PKKGSKKAVT KAQQKDGKKR KRSRKESYV YYVKLVQVH PDTGISSKAM GNMNSFVNDI FERIACEASR LAHYNKRTSI TSREIQTAVR LLPGELAKH AVSEGTKAVT KYTSSK
35.	Гистон H3	MARTKQTARK STGGKAPRK LATKAARKSA PATGGVKPH RYRPGTVLAR EIRRQKSTE LLIRKLPFQR LVREIAQDFK TDLRFQSSAV MALQEACEAY LVGLFEDTNL CAIHAKRTVI MPKDIQLARR IRGERA
36.	Гистон H4	MSGRKGGKGLGKGGAKRHRKVL RDNIQGITKAIRRLAR RGGVKRISGLIYEETRGVLKIFLENVIRD AVTYTEHARRKTVTAMD VYAIKRQGRFTLYGGGG
37.	P3 (остатки гемоглобина 97-114)	MVLSAADKGNAKAAW GKVGGA AAEYGAEALERMFLSFPPTKTYFPHFDLHSGS AQVKGHGAKVAAALT KAVEHLDLPGALSEL SDLHAKLRLVDPVNFKLSSHLVTLASHL PSDFTP AVHASLDKFLANVSTVI TSKYR
38.	Говяжий бета-казеин	MKVLLACLV ALALARELEELNV PGEIVESLSSEESITRINKKIEKFQSEQQQTEDELQDKIHPFA QTOSLVYPFPGPINSLPONIPP LTQTPVVPPFLQPEVMGVSKVKEAMAPKHKEMPFPK YPVEPFTESQSLTLTD VENLHPLPLLQSWMHQPHQPLPPTV MFPPQS VLSSLSQSKVLP VPQKAVPYPQRDMPQ AFLYQEP VLGPVGRGPFIIV
39.	BSN-37	METQRASLSLGRCSLWL LLLGLVLP SASAQA LSYREAVL RAVDQFNERSSE ANLYRLL ELDPTPNNDDLDPGTRKP VSFRVKETDCPR TSQQPLEQCDFKENGIVKQCVGTVTLDPSNDQFDINCNELQSV FRPPIRPPPIRPPYPPFRPPIRPPFIRPPFRPP LGFPGPGR
40.	B34	MGLSDGEWQLVLA WAGKVEADVAGHQEVIRLRLTGHPE TLKFDKFKHLKTE AEMKASEDLKKHGNVT ALGGILKKKGHHEA EVKHLAE SHANKH KIPVKY LEFISDAIIHVHLAKHPSDFGADAQAA SKALEFRNDMAAAQYKV LGFGH

Примечание: желтым и зеленым отмечены зрелые антимикробные пептиды, красным — сайты действия фермента.

Таблица 3. Действие коллагеназы на препропептидные предшественники некоторых AMP
 Tabke 3. Action of collagenase on prepropeptide precursors of some AMPs

№	Название зрелого AMP	Сайты расщепления	
		<i>Sus scrofa</i>	
1.	Протегрин-1	METQRASLCL GRWSLWLLL ALVVPSSAQQ ALSYREAVLR AVDRLNEQSS EANLYRLL EL DQPPKADEDP GTPKPVSFTV KETVCPRPTR QPPELCDFKE NGRVKQCVGT VTLDQIKDPL DITCNEVQGV RGGRLCYCRR RFCVCVGRG	
2.	Протегрин-2	METQRASLCL GRWSLWLLL ALVVPSSAQQ ALSYREAVLR AVDRLNEQSS EANLYRLL EL DQPPKADEDP GTPKPVSFTV KETVCPRPTR QPPELCDFKE NGRVKQCVGT VTLDQIKDPL DITCNEVQGV RGGRLCYCRR RFCICVG	
3.	Протегрин-3	METQRASLCL GRWSLWLLL ALVVPSSAQQ ALSYREAVLR AVDRLNEQSS EANLYRLL EL DQPPKADEDP GTPKPVSFTV KETVCPRPTR QPPELCDFKE NGRVKQCVGT VTLDQIKDPL DITCNEVQGV RGGRLCYCRR RFCVCVGRG	
4.	Протегрин-4	METQRASLCL GRWSLWLLL ALVVPSSAQQ ALSYREAVLR AVDRLNEQSS EANLYRLL EL DQPPKADEDP GTPKPVSFTV KETVCPRPTR QPPELCDFKE NGRVKQCVGT VTLDQIKDPL DITCNEVQGV RGGRLCYCRR WICFCVGRG	
5.	Протегрин-5	METQRASLCL GRWSLWLLL GLVVPSSAQQ ALSYREAVLR AVDRLNEQSS EANLYRLL EL DQPPKADEDP GTPKPVSFTV KETVCPRPTR QPPELCDFKE NGRVKQCVGT VTLDQIKDPL DITCNEVQGV RGGRLCYCRP RFCVCVGRG	
6.	PMAP-23	METQRASLCL GRWSLWLLL GLVVPSSAQQ ALSYREAVLR AVDRLNEQSS EANLYRLL EL DQPPKADEDP GTPKPVSFTV KETVCPRPTR QPPELCDFKE NGRVKQCVGT VTLKEIRGNF DITCNQLQSV RIIDLWVRV RPQPKFVTV WVR	
7.	PMAP-36	METQRASLCL GRWSLWLLL GLVVPSSAQQ ALSYREAVLR AVDRLNEQSS EANLYRLL EL DQPPKADEDP GTPKPVSFTV KETVCPRPTW RPPELCDFKE NGRVKQCVGT VTNPSNDPL DINCDEIQSV GRFRRLRKKT RKRLKKIGKV LKWIPPIVGS IPLGCG	
8.	PMAP-37	METQRASLCL GRWSLWLLL ALVVPSSAQQ ALSYREAVLR AVDRLNEQSS EANLYRLL EL DQPPKADEDP GTPKPVSFTV KETVCPRPTW RPPELCDFKE NGRVKQCVGT VTLQIKDPL DITCNEIQSV GLLSRLRDFL SDRGRRGEK IERIGQKID LSEFFQS	
9.	PR-39	METQRASLCL GRWSLWLLL GLVVPSSAQQ ALSYREAVLR AVDRLNEQSS EANLYRLL EL DQPPKADEDP GTPKPVSFTV KETVCPRPTR QPPELCDFKE NGRVKQCVGT VTNPSIHSL DISCNEIQSV RRRPRPPYLP RPRPPPFFF RLPRIPPGF PPRFPFRPG KR	
10.	Свиной NK-лизин	PGLAFSLTP EHSALARAH P CDGEQFCQNL APEDPQGDQL LQREELGLIC ESCRKIIQKL EDMVGPQPNE DTVTQAASRV CDKMKILRGV CKKIMRTFLR RISKDLTNGK KPOAICVDIK ICKEKTGLI	
11.	Профенин-1	LLLLALVVPS ASAQALSYRE AVLRAVDRNL EOSSEANLYR LLELDQPPKA DEDPGTPKPV SFTVGETVCP RPTROPPELC DFKENGVRVQ CVGTVTLDDQI KDPLDITCNE GVRRFPWWWP FLRPRPLRRQ AFPPPNVPGP RFPPPNFPGP RFPPPNFPGP RFPPPNFPGP RFPPPNFPGP PFPPIPFGP WFPPPPPFRP PPFGPFRPG RR	
12.	Профенин-2	METQRASLCL GRWSLWLLL ALVVPSSAQQ ALSYREAVLR AVDRLNEQSS EANLYRLL EL DQPPKADEDP GTPKPVSFTV KETVCPRPTR RPPELCDFKE NGRVKQCVGT VTLDQIKDPL DITCNEGVRP FPWWWFRLR PRLRRQAFPP PNVPGPRFP PNVPGPRFP PNFGPGRFP PNFGPGRFP PNFGPGRFP PNFGPGRFP APPGARPPG PPPLGPPPG PAPPGARPP APPGARPPG PPPGPPPPG PAPPGARPP GPPGPPPPG CPAPPGARPP PCPPPGPPP PGAPPGARPP PGAPPGARPP PPGAPPGAR PPPGPPPG PPGAPPGA RPPGPPPPG PPPGPPAPG ARPPGPPP CPGPPGAPP GARPPGPPP PGPPGPP PGPPPPC PAPGARPPP PPADEPQOQP APSGDKPKK PPPAGPPP GPPSPGPAPP GARPPGPPP PGPPPPC PAPG PGARPPGPP PPGPPP CPGARPPP PPGARPP PPGARPPG APPGARPPG PPPGPPPG PAPPGARPP PGPPGPP GPAPPGARPP PPGPAPPGAR PGAPPGAR PPGPAPPG APPGARPPG PPPGPPPG PAPPGARPP PGPPGAPGA RPPGPP PPP PGPAPPG ARPPGPPPPP PGPSPPRPP PGPPPG	
13.	Буфорин-1 (гистон H2A)	AGRKGQGGKV RAKAKTRSSR AGLQFPVGRV HRLRKGN	
14.	Лизоцим свиной	MKTLLVLALL LLSVSVQAKV YDRCEFARL KKSGMDGYRG VSLANWVCLA KWESDFNTKA INHNVGSTDY GIFQINSRYW CNDGKTPKA V NACHISCKVL LDDDSQDIE CAKRVVRDPL GVKAWVAWRA HCQNQDVQY IRGCKL	
15.	Пептид 3910	RADTQTYPQY NKDWIKEIY VLLRRQAAQQA GK	
16.	SP-B	MLPILLSVAL LAASSARSPF FDLEDANSNS AEKFLRPPPG GGPPRPPPE ESQGEGHQKR PRPPGDGPEQ GPAPPGARPP PGPPPCCPPP PGPAPPGAR PPGPPPPG PPGAPPGAR PPGPPPPG PPGAPPGAR PPGPPPPG PPGAPPGAR ARPPGPPPG APPGARPPP PPGAPPGAR PPGPPPPG PPGAPPGAR PPGPPPPG PPGAPPGAR PPGPPPPG APPGARPPG PPPLGPPPG PAPPGARPP GPPGPPPPG CPAPPGARPP PCPPPGPPP PGAPPGARPP PGAPPGARPP PPGAPPGAR PPPGPPPG PPGAPPGAR RPPGPPPPG PPPGPPAPP ARPPGPPP CPGPPGAPP GARPPGPPP PGPPPPC PAPGARPPP PPADEPQOQP APSGDKPKK PPPAGPPP GPPSPGPAPP GARPPGPPP PGPPPPC PAPG PGARPPGPP PPGPPP CPGARPPP PPGARPP PPGARPPG APPGARPPG PPPGPPPPG PAPPGARPP PGPPGPP GPAPPGARPP PPGPAPPGAR PGAPPGAR PPGPAPPG APPGARPPG PPPGPPPPG PAPPGARPP PGPPGAPP PPP PGPAPPG ARPPGPPPPP PGPSPPRPP PGPPPG	
17.	SP-E	MLPILLSVAL LAASSARSPF FDLEDANSNS AEKFLRPPPG GGPPRPPPE ESQGEGHQKR PRPPGDGPEQ GPAPPGARPP PGPPPCCPPP PGPAPPGAR PPGPPPPG PPGAPPGAR PPGPPPPG PPGAPPGAR PPGPPPPG PPGAPPGAR HVGPKKPPP PGAGHPPRPP PANESQGP RPPPGPPSPP ANDSQEGSPS ADGPQQGPAP SGDKPKKK PPAGPPPP PGAPGPPPG APPGARPPP PPGAPPGAR PPGPPPPG PPGAPPGAR PPGAPG PPGAPPGAR PPGAPPGAR ARPPGPPPG PPGAPPG APPGARPPP PPGAPPGAR PPGAPPGAR PPGAPPGAR PPGAPPGAR PPGAPPGAR PGAPPGAPP PPGPPPPGP APPGARPPP PPGAPPGAR PPGAPPGAR PPGAPPGAR PPGAPPGAR PPGAPPGAR PGAPGPPPG APPGARPPP PPGAPPGAR PPGAPPGAR PPGAPPGAR PPGAPPGAR PPGAPPGAR PPGAPPGAR PPPGAPP PPGPPPG APPGARPPP PPGAPPGAR PPGAPPGAR PPGAPPGAR PPGAPPGAR PPGAPPGAR PPPPPG APPGARPPP PPGAPPGAR PPGAPPGAR PPGAPPGAR PPGAPPGAR PPGAPPGAR PPGAPPGAR PPPPPG APPGARPPP PPGAPPGAR PPGAPPGAR PPGAPPGAR PPGAPPGAR PPGAPPGAR PPGAPPGAR PPPPPG APPGARPPP PPGAPPGAR PPGAPPGAR PPGAPPGAR PPGAPPGAR PPGAPPGAR PPGAPPGAR	
18.	PR-35	METQRASLCL GRWSLWLLL GLVVPSSAQQ ALSYREAVLR AVDRLNEQSS EANLYRLL EL DQPPKADEDP GTPKPVSFTV KETVCPRPTR QPPELCDFKE NGRVKQCVGT VTNPSIHSL DISCNEIQSV RRRPRPPYLP RPRPPPFFF RLPRIPPGF PPRFPFRPG KR	
<i>Bos taurus</i>			
1.	Бактеницин	METPRASLSL GRWSLWLLL GLALPSSSAQQ ALSYREAVLR AVDQLNEQSS EPNIYRLL EL DQPPQDDEDP DSPKRVFSRV KETVCSRTTQ QPPEQCDFKE NGLLKRCGETV TLQVNRGNF DITCNHQSI RITKWPAPP QAARLCRIVV IRVCR	
2.	Бактеницин-5	METQRASLSL GRCSLWLLL GLVLPSSAQQ ALSYREAVLR AVDQFNERSS EANLYRLL EL DPTPNDDLD GTRKPVSFRV KETDCPRTSO QPPEQCDFKE NGLVKQCVGT VTLDPSNDQF DINCNEIQSV RFRPPRIRPPP IRPPFYPPR PPIRPPIFPP IRDPFRPRLG PFPGR	
3.	Бактеницин-7	METQRASLSL GRWSLWLLL GLVLPSSAQQ ALSYREAVLR AVDRINERSS EANLYRLL EL DPTPNDDLD GTRKPVSFRV KETVCPRTSP QPPEQCDFKE NGLVKQCVGT ITLDQSDLF DLNCNEIQSV RRIIRPRPPRL PRPRPRPLPF PRPGPRIPR PLPPRPGPR PIPRPLPFP PGPRLPFP	
4.	Лактоферрицин-В	MKLFPVALLS LGALGLCLAA PRKNVRWCTI SQPEWFKRR WQWRMFKLGA PSITCVRRAF ALECIRIAAE KKADAVTLG GMVFEAGRDP YKL RPVAEE YGKESPQTH YYAVAVVKG SNFQLDQLOQ RKSCHTGLR SAGWIIPMG LRPYLSWTE LEPLQGAVAK FFSASCVPCL DRQAYPNLQC LCKGEGENQC ACSSREP YSGAFKCLQD GAGDVAFVKE TTVFENLPE ADRQYELL LNNSRAPVDA FKECHLAQV SHAVVARSVD GKEDLIWLL SKAQEKF GKN KSR SFQLFCG PPG QRD LFK DSALGFLRIP SKVDSLALY LG SRYLTTLKN RETAEVVK YTRVVWCAVG PEEQKCCQW SQQSGQNVTC ATAS TDCI VLVLKGEADE LNLDGGYIYT AGKCLGVPL AENRKSSKHS SLDCVLRPT EYLAVAVVVKK ANEGLTWNSL DKKCSHTAV DRTAGWNIPM GLIVNQGTGSC AFDEFFSQSC APGADPKSRL CALCAGDDQG LDKCVPNSKE KYYGYTGAFR CLAEDVGVA FVKNDTVWEN TNESTADWA KNLNREDFLR LCLDGTRKPV TEAQSCHLAV APNHAVVRS DRAAHVQVQ LHQQALFGKN GKNCPDFKCL FKSETKNLLF NDNTCECLAKL GGRPTYEEYL GTEYVTAIAN LKKCSTSPLL EACAFLTR	
5.	Бета-дефензин 1	MRLHHLLAL LFVVLSSAGSG ISDFASCHTN GGICLPNRCP GHMQIGICF RPRVKCCRSW	

№	Название зрелого АМП	Сайты расщепления
6.	Бета-дифенсин 2	MRLHHLLLAL LFLVLSAGSG FTQGVRNHVT CRINRGFCVP IRCPGRTRQI GTCFGPRIK CCRSW
7.	Бета-дифенсин 3	LALLFLVSA GSGFTQGVRN HVTCRINRGF CVPIRCGPGR RQIGTCFGPR IKCCRSW
8.	Бета-дифенсин 4	MRLHHLLLAV LFLVLSAGSG FTQVRNPOS CRWNMGVCIP FLCRVMGROI GTCFGPRVPC CRR
9.	Бета-дифенсин 5	MRLHHLLVL LFLVLSAGSG FTQVRNPOS CRWNMGVCIP ISCPGNMRQI GTCFGPRVPC CRRW
10.	Бета-дифенсин 6	QGVRNHTC IYGGFCVPIR CGPGRTRQIGT CFGRPVKCCR RW
11.	Бета-дифенсин 7	MRLHHLLLAL LFLVLSAGSG FTQGVRNFVT CRINRGFCVP IRCPGHRRQI GTCCLGPRIK CR
12.	Бета-дифенсин 8	MRLHHLLLAL LFLVLSAGSG FTQGVRNFVT CRINRGFCVP IRCPGHRRQI GTCCLGPQIKC CR
13.	Бета-дифенсин 9	LALLFLVSA GSGFTQGVRN HVTCRINRGF CVPIRCGPGR RQIGTCCLAPQ IKCCR
14.	Бета-дифенсин 10	MRLHHLLLLL LLVVLSSGSG FTQGVRSYLS CWGNRGICLL NRCPGMRQI GTCLAPRVKC CR
15.	Бета-дифенсин 11	MRLHHLLLAL LFLVLSAGSG ISGPLSCRN GGVCIPIRCP GRPMRQIGTCF GRPVKCCRSW
16.	Бета-дифенсин 12	MRLHHLLLAL LFLVLSAASG ISGPLSCRN GGVCIPIRCP VPMRQIGTCF GRPVKCCRSW
17.	Бета-дифенсин 13	MRLHHLLLAL LFLVLSAASG ISGPLSCRN GGVCIPIRCP VPMRQIGTCF GRPVKCCRSW
18.	Индолицидин	MQTQRASLSL GRWSLWLLL GLVVPSSAQ ALSYREAVLR AVDQLNESSL EANLYRLLEL DPPPDKNEDL GTRKPVSVTV KETVCPRTIQ QPAEQCDFKE KGRVKQCVGT VTLDPSNDQF DLNCNELQSV ILPWKPWWP WRRG
19.	Семиналпазмин	MMAGRSSWP MATVLLALLV CLGEVDSKP QPDEKASPD KHHRFSLSRY AKLANRLANP KLETFLSKW IGDRGNRSVK
20.	Антимикробный пептид трахеи	MRLHHLLLAL LFLVLSAWSG FTQGVG NPVS CVRNKGICVP IRCPGSMQI GTCVGRAVKC CRKK
21.	BMAP-27	METQRASLSL GRWSLWLLL GLALPSASAQ ALSYREAVLR AVDQFNERSS EANLYRLLEL DPPPKEKEDDEN PNIPKPVSVF VKETVCPRTS QPAEQCDFK ENGLVKQCVG TVTLDAVKGK INVTCCELQS VGRFKFRKK FKFLFKKLSP VIPLHLG
22.	BMAP-28	METQRASLSL GRWSLWLLL GLALPSASAQ ALSYREAVLR AVDQLNEKSS EANLYRLLEL DPPPKEKEDDEN PNIPKPVSVF VKETVCPRTS QQSPEQCDFK ENGLLKECVG TVTLQDVGSN FDITCAVPOS VGLRLSLGRK ILRAWKYYGP IVPIIRIG
23.	BMAP-34	METQRASFSL GRSSLWLLL GLVVPSSAQ DLSYREAVLR AVDQFNERSS EANLYRLLEL DPPPEQDVH PGARKPVSVF VKETVCPRTT PQQPEQCDFK ENGLVKQCVG TVTRYWIRGD FDITCENNIQS AGLFRRRLRDS IRRGQQKILE KARRIGERIK DIFRG
24.	Лингвальный антимикробный пептид	MRLHHLLLAL LFLVLSAGSG FTQGVRNSQS CRRNKGICVP IRCPGSMRQI GTCLGAQVKC CRKK
25.	Хромбацин	AAEFPDFYDSEEQMGPHQEADEKDRAQVRVLTTEEEKKELENLAAMDLELQKIAEKFSQR
26.	Энкелитин	MARFLGLCTW LLALGPGLLA TVRAECSQDC ATCSYRLARP TDLNPLACTL ECEGKLPPLK TWETCKELLQ LTKLELPDA TSALSKQEEES HLLAKKYGGF MKRYGGFMK MDELYPLEVE EEANGGEVLG KRYGGFMKDD AEEDDGLGNS SNLLKELLGA GDQREGSLHQ EGSDAEDVSK RYGGFMRLK RSPHLEDET K ELQKRYGGFM RRVGRPEWWM DYQKRYGGFL KFAEPLPSE EEGESYSKEV PEMEKRYGGF MRF
27.	TAP 20N	NPVSCVRNKGICVPIRCPGNMKQIGTCVGRAVCCRKK
28.	Секретолитин	MQPAALLGLL GATVVAAVSS MPVDIIRNHE EVVTHCIIEV LSNALLKSSA PPITPECROV LKKNGKELKN EKSENENTR FEVRLRDP A DTSEAPGLSS REDSCEGDAO VPTVADTESG GHSRERAGEP PGSOVAKAEK TRYSKSEGON REEMVKYOK RERGEVGSEE RLSEPGKAQ TAFLNQRNQT PAKKEEVL SR YDTQSARGLE KSHSRERSSQ ESCEETKSQE NWPLQERHP EGQEAQGESE EDASPEVDKR HSRPRHHIGR SRPDRSSQEG NNPLLEESHV GTGNSDEEKA RHPAHFALE EGAEYGEEV R HSAAQAPGD LQGARFGGRG RGEHQALRRP SEESLEQENK RHGLSPDLNM AQGYSEEEER ERGPAPGPSY RARGGEAAAY STLGQTDEKR FLGETHHRVQ ESQRDKARRR LPGELRNLYD YGEKGEAA RGKWPQPGDP RDADENREEA RL RGKQYAPH HITEKRLGEL LNPFYDPSQW KSSRFERKDP MDDSFLGEEN ENGLTLNEKN FFPEYNYDWV EKKPFEEDVN WGYEKRNVP KLDLKRQYDR VAEFDLQHRY RKKSAAEFPDF YDSEEQMSQP HTAENEKEE CQGVLTTEEKELENLAAMD LEI QKIAEKF SCTR RG
29.	Хромацин	MRSAAVLALL LCAQVIALP VNSPMNKGDT EVMKICIVEVI SDTLSKPSPM PVSKECFETL RGDERILSIL RHQNLLELQ DLALQGAKER THQKQKHSSY EDELSEVLEK PNDQAEPKEV TEEVSSKDAA EKRDDFKEVE KSDEDSDGDR PQASPLGLPG PKVEEDNQAP GEEEAPSNA HPLASLPSPK YPGPOAKEDS EGPSQGPASR EKGLSAEQGR QTEREEEEEK WEEAEAREKA VPEEESPTA AFKPPPSLGN KETQRAAPGW PEDGAGKMGA EA KPKPEGKG EWAHSRQEE EMARAPQVLF RGGKSGEPEQ EQLSKREWED AKRWSKMDQL AKELTAEKRL EGEEEEEEDP DRSMRLSFRA RGYGRGPGL QLRRGWRPNS REDSVEAGLP LQVRGYPEEK KEEEGSANR PEDQELESLS AIEAELEKVA HQLEELRRG
30.	Вазостатин-1	MRSAAVLALL LCAQVIALP VNSPMNKGDT EVMKICIVEVI SDTLSKPSPM PVSKECFETL RGDERILSIL RHQNLLELQ DLALQGAKER THQKQKHSSY EDELSEVLEK PNDQAEPKEV TEEVSSKDAA EKRDDFKEVE KSDEDSDGDR PQASPLGLPG PKVEEDNQAP GEEEAPSNA HPLASLPSPK YPGPOAKEDS EGPSQGPASR EKGLSAEQGR QTEREEEEEK WEEAEAREKA VPEEESPTA AFKPPPSLGN KETQRAAPGW PEDGAGKMGA EA KPKPEGKG EWAHSRQEE EMARAPQVLF RGGKSGEPEQ EQLSKREWED AKRWSKMDQL AKELTAEKRL EGEEEEEEDP DRSMRLSFRA RGYGRGPGL QLRRGWRPNS REDSVEAGLP LQVRGYPEEK KEEEGSANR PEDQELESLS AIEAELEKVA HQLEELRRG
31.	Говяжий ингибитор трипсина из поджелудочной железы	MKMSRLCLSV ALLVLLGTLA ASTPGCDTSN QAKAQRPDFC LEPPYTPGPCK ARIIRYFYNA KAGLCQTFVY GGCRAKRNNF KSAEDCMRTC GGA IPWPWNL
32.	Казоцидин-2	MKFIFTCLLAVALAKNTMEHVSSEESIIQSETYKQEKNMMAINPSKENLCSTFCKEVVRNANEEYSIGSSSEESAEVATEEVKITV DDKHYQKALNEINQFYQKFPQYLQYLYQGPIVLNPWDQVKRNAVPIPTLNREQLSTSEENSKTVDMESTEVFTKK TKLTEEK NRLNFLKKISQRYQKFALPQYKLTQVYQHQKAMKPWIQPKTKVPIVYRVL
33.	Буфорин-1 (гистон H2A)	AGRQKGGGVK RAKAKTRSSR AGLQFPVGRV HRLRKGNY
34.	Гистон H2B	MPEPSKSAPA PPKGSKKAVT KAQQDKKKR KRSRKEYSV YVYKVLKQVH PDTGISSKAM GNMNSFVNDI FERIAGEASR LAHYNKRSTI TSREIQTAVR LLLPGEAKH AVSEGTKAVT KYTSSK
35.	Гистон H3	MARTKOTARK STGGKAPRK LATKAARKSA PATGCVKKPH RYRPGTVALR EIRRQKSTE LLIRKLPFQR LVREIAQDFK TDLRQSSAV MALEACEAY LVGLFEDTNL CAIHAKRTI MPKDIQLARR IRGERA
36.	Гистон H4	MSGRGKGGKGLGKGGAKRHKRVLRDNIQGITPAIRRLLARRGGVKRISGLIYEETRGVLKIFLENVIRDAVTYTEHARRKTVTAMD VVYALKRQGRFTLYGFGG
37.	P3 (остатки гемоглобина 97–114)	MVLSAADKGKVAAGKVGHHAAEYGAELERMFLSPTTCKTYFPHFDLHSGSAQVKGHGAKVAAALTКАVEHLDLPGALSE LSDLHAHKLRVDP VNFKLLSHSLLVTASHL PSDFTP AVHASLDKFLANVSTLTSKYR
38.	Говяжий бета-казеин	MKVILACVALALARELEELNVPGEIVESLSSSEESITRINKKIEKFQSEEQQQTEDELQDKIHPFAQTQSLVYPFPGPPIPNSLPQNI PPLTQTPVVVPPFLQPEVMGVSKVKEAMAPKHKEMPFPK YPVEPFTESQSLTLDVNLHPLPLLQSQWMHQPLPPTVMPF PQSVLSLSQSKVLPVQKAVPYPQRDMPIQAFLLYQEPVLPGPVRGPFPIV
39.	BSN-37	METQRASLSLGRCSLWLLLGLVLPSSASAQALSYREAVLRAVDQFNERSSSEANLYRLLDPTPNDDLDPGTRKPVFSRVKETDCPRT SQQPLQCFDKENG LVQCVGTVTLDPSNDQFDINCNELQSVRFRPPIRPPFYPFRPPIRPPFIRPPFRPPL LGPFPGRR
40.	B34	MGLSDGEWQLVLNAWGKVEADVAGHGQEVLRFTGH PETLEKFDKFKHLKTEAEMKASEDLKKHGNTVL TALGGILKKKGHH EAEVKHLAESHANKHKIPVKY LEFISDAIHLVHAKHPSDFGADAQAMSKALELFRNDMAAQYKVLCGFH

Примечание: желтым и зеленым отмечены зрелые антимикробные пептиды, красным — сайты действия фермента.

Действие трипсина на препропептидные предшественники АМП

В группе АМП *Sus scrofa* под названием протегрины, которые содержат всего от 16 до 18 аминокислотных остатков, определялось до 5 сайтов расщепления внутри зрелой последовательности, в то время как в Профенине-1 и Профенине-2, содержащих 78 и 79 АК-остатков соответственно, было выявлено по 6 сайтов расщепления. Группа АМП под названием РМАР также характеризовалась наличием большого количества сайтов расщепления — от 6 (в РМАР-23) до 13 (в РМАР-36), что в случае реального воздействия трипсином привело бы к сильному снижению биологической активности пептида [21]. В исследовании Ebbebsgaard и др. было показано, что взаимодействие таких АМП, как Cap 18, Цекропин Р1, Цекропин В, Мелиттин и Индолицидин, с трипсином приводит к полной потере их антимикробной активности уже через 30 секунд инкубации [21]. Вероятность внутреннего расщепления пептида зависит в большей степени не от размера АМП, а от его строения. Наибольшее количество сайтов расщепления среди зрелых антимикробных соединений *Sus scrofa* было выявлено в свином лизоциме — 20 единиц, в то время как наименьшее — в антимикробном пептиде SP-B (1 сайт расщепления).

Рассматривая результаты определения сайтов расщепления в предшественниках АМП *Bos taurus*, можно аналогично результатам анализа *Sus scrofa* отметить большое содержание данных сайтов в зрелых последовательностях АМП. Стоит отметить, что организм *Bos taurus* характеризуется присутствием большой группы АМП под названием бета-дефензины, в зрелых последовательностях которых выявлено до 9 сайтов расщепления (в Бета-дефензинах 2, 3 и 6). Данные АМП содержат в себе от 38 до 42 АК-остатков. Известно, что бета-дефензины конститутивно экспрессируются в молочных железах крупного рогатого скота и проявляют бактерицидную активность в отношении широкого спектра патогенов, включая *Escherichia coli* и *Staphylococcus aureus* [22]. В группе ВМАР, содержащих от 27 до 34 АК-остатков, было выявлено от 7 (ВМАР-28) до 11 (ВМАР-34) сайтов расщепления внутри зрелых последовательностей. Наибольшее количество сайтов расщепления среди АМП *Bos taurus* было обнаружено в группе гистонов — от 24 (у Гистона H4) до 29 единиц (у Гистона H3), в то время как наименьшее — в таких АМП, как Р3 и говяжий бета-казеин. У последних сайт расщепления был всего один и либо не влиял на уменьшение АК-последовательности АМП, либо имел незначительное влияние. Бета-казеин и Р3 находятся не в С-концевой части последовательности препропептидного предшественника, таким образом, после воздействия трипсином данные пептиды, возможно, еще будут «пришиты» к части последовательности предшественника, не обладающей активностью.

В целом, результаты определения сайтов расщепления для трипсина в предшественниках АМП организмов *Sus scrofa* и *Bos taurus* (Таблица 1) показали, что довольно большое содержание аргинина (R) и лизина (K) в АМП и их предшественниках приводят к образованию чрезмерного множества фрагментов, расщепляя в том числе зрелую пептидную последовательность. Так, процентное содержание АК-остатков аргинина (R) и лизина (K) в зрелых АМП *Sus scrofa* составляет 12,92% и 6,46% соответственно, а содержание этих же АК-остатков в зрелых АМП *Bos taurus* составляет 13,48% и 7,79% соответственно. Это не является существенным отличием и показывает примерно одинаковую эффективность воздействия трипсина на расщепление АМП данных организмов. Учитывая также тот факт, что трипсин проявляет большую активность на С-концевой стороне белка [18], а также то, что большинство зрелых АМП сосредоточены именно в этой области, можно сделать вывод: трипсин не является подходящим энзимом для извлечения АМП из их препропептидных предшественников.

Действие эластазы на препропептидные предшественники АМП

Нейтрофильная эластаза относится к группе сериновых протеаз и осуществляет гидролиз преимущественно по связям валина (Val (V)-Xaa) и аланина (Ala (A)-Xaa) (Рисунок 2) [23, 24].

В группе протегринов, где внутри зрелых последовательностей было найдено до пяти сайтов расщепления при воздействии трипсина, при влиянии эластазы обнаруживалось максимум три сайта расщепления. Один из сайтов расщепления находился в начале N-концевой части зрелого пептида, обеспечивая его высвобождение из предшественника. Другие сайты располагались в С-концевой части, расщепление по ним приводило к укорачиванию пептида, что может влиять на его активность. Кроме того, результаты показали, что такие АМП *Sus scrofa*, как РМАР-37, РР-39, Профенин-1 и РР-35, будут также высвобождаться под воздействием эластазы с минимальным изменением их структуры, несмотря на то, что количество сайтов расщепления в их предшественниках достигало 21 (в предшественнике Профенина-1).

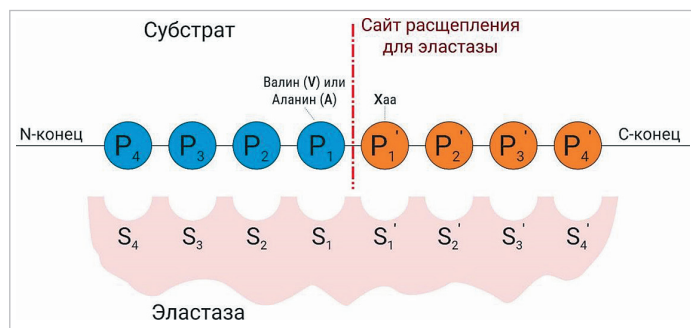


Рисунок 2. Предпочтительный сайт расщепления для эластазы

Figure 2. Preferred cleavage site for elastase

Примечание: сайты узнавания субстрата пронумерованы S_1-S_n в направлении N-конца субстрата и $S_1'-S_n'$ в направлении C-конца. Аминокислотные остатки субстрата пронумерованы P_1-P_n и $P_1'-P_n'$ соответственно. Нумерация начинается с разрезаемой связи.

Note: The substrate binding sites downstream of the cleavage site are numbered S_1-S_n towards the N-terminus of the substrate and $S_1'-S_n'$ towards the C-terminus. The substrate residues are numbered P_1-P_n and $P_1'-P_n'$ respectively. The numbering starts at the scissile bond.

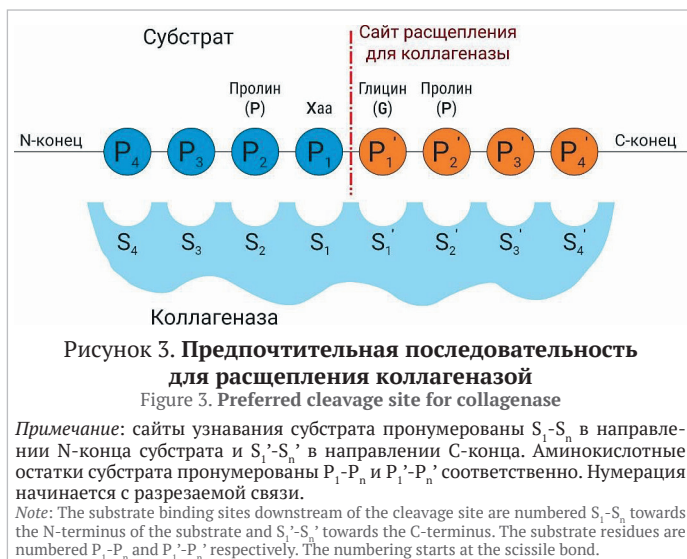
Среди АМП *Bos taurus* также были выявлены пептиды, обладающие высоким потенциалом извлечения с помощью эластазы — Бактенецин-5, Бактенецин-7 и Индолицидин. Группа дефензинов характеризовалась наличием от 2 (Бета-дефензины 1, 2, 8 и 11) до 4 (Бета-дефензины 4 и 5) сайтов расщепления внутри зрелой последовательности, однако они были расположены ближе к ее центру, что может приводить к сильному укорачиванию АМП и, как следствие, к снижению их активности. Группа ВМАР характеризовалась наличием одного сайта расщепления в начале зрелой последовательности пептида, однако последующие сайты укорачивали ее с С-концевой стороны. Аналогичное влияние эластаза может оказывать на предшественник пептида BSN-37: в нем выявлено 16 сайтов расщепления, последний из которых «разрезает» препропептидную молекулу в месте начала зрелой последовательности антимикробного пептида. Тем не менее, как и АМП группы ВМАР, пептид не высвобождался полностью, будучи «сшитым» с восемью аминокислотными остатками предшественника, что способно снизить активность BSN-37.

Среднее относительное содержание валина и аланина было несколько ниже в зрелых антимикробных последовательностях *Sus Scrofa* и *Bos taurus*, по сравнению с содержанием аргинина и лизина. Так, для АМП *Sus scrofa* процентное содержание валина и аланина составляло 5,11% и 3,36% соответственно, а для АМП *Bos taurus* — 5,51% и 4,6%. Это соотношение влияло и на распределение сайтов расщепления эластазы в зрелых АМП *Sus scrofa* и *Bos taurus* — их количество было в целом меньшим, чем в случае с трипсином. Возможности эластазы для активации АМП уже были продемонстрированы коллективом итальянских ученых в 2022 году: ими было разработано пролекарство, удлиняющее антимикробный пептид D-ВМАР18 отрицательно заряженной инактивирующей последовательностью, содержащей сайт расщепления нейтрофильной эластазой [25]. Конечная цель заключалась в том, чтобы обеспечить активацию D-ВМАР18 эндогенным эластазой только в месте инфекции/воспаления, обеспечивая медленное и целенаправленное высвобождение фармакологически активного пептида. Пролекарство обладало минимальной активностью в отсутствие эластазы, а продукт его протеолиза сохранял значительную антимикробную активность, но меньшую цитотоксичность. Таким образом, потенциал применения эластазы для извлечения АМП из препропептидных предшественников организмов *Sus scrofa* и *Bos taurus* является достаточно высоким.

Действие коллагеназы на препропептидные предшественники АМП

Бактериальная коллагеназа I типа представляет собой протеазу, расщепляющую связи между нейтральной аминокислотой (Xaa) и глицином в последовательности Pro(P)-Xaa-|-Gly(G)-Pro(P) (Рисунок 3) [26, 27].

Лишь у 3-х предшественников АМП *Sus scrofa* были обнаружены сайты расщепления для коллагеназы: Профенин-2, SP-B и SP-E, причем в предшественнике Профенина-2, содержащем 228 АК-остатков, коллагеназа отщепляла только последние 9 С-концевых АК-остатка, оставляя «пришитой» основную часть АМП к N-концевой части. В пептидах SP-B и SP-E специфичные последовательности обнаруживались чаще, однако они находились посередине антимикробной



последовательности зрелого пептида. При воздействии коллагеназы на данные АМП их последовательность укорачивалась бы вдвое, что значительно снижало бы их активность [28].

Среди предшественников АМП *Bos taurus* наблюдались схожие результаты: сайты расщепления были обнаружены только в предшественниках Бактенцина-5 и BSN-37. При этом, как и в случае с предшественником Профенина-2, воздействие коллагеназой позволило бы отщепить только несколько АК-остатков в С-концевой части препропептидного предшественника Бактенцина-5 и BSN-37.

В связи со специфичностью необходимой последовательности субстрата, результаты определения сайтов расщепления для коллагеназы не показали значимого результата, несмотря на довольно высокое содержание пролина и глицина в зрелых последовательностях АМП как *Sus scrofa*, так и *Bos taurus*. Так, содержание АК-остатков пролина и глицина в АМП *Sus scrofa* в среднем составляло 22,47% и 9,15% соответственно, а в АМП *Bos taurus* – 9,67% и 8,81%.

Ранее было показано, что вследствие особенностей строения большинство АМП млекопитающих имеют изоэлектрическую точку (рН) в щелочном диапазоне pH [7,29], в связи с чем некоторые учеными рекомендуют применять слабокислотную экстракцию для их эффективного извлечения [30,31]. Для дальнейшей же энзиматической обработки экстракта с целью высвобождения и активации АМП необходимо учитывать оптимум действия pH конкретного энзима. Так, для протеолитического действия трипсина диапазон оптимальных значений pH составляет 7,0–8,0 [32], для коллагеназы – от 6,0 до 7,0 [33], для эластазы – около 7,0 [34]. Таким образом, при использовании слабокислых экстрагентов в дальнейшем необходимо будет нейтрализовать полученные экстракти для более эффективного воздействия рассматриваемых энзимов. Согласно данным Таблиц 1, 2 и 3, а также учитывая особенности протеолитического действия энзимов при различных значениях pH, можно распределить фер-

менты от менее предпочтительного к более предпочтительному для высвобождения АМП из предшественников в организмах *Sus scrofa* и *Bos taurus* следующим образом: бактериальная коллагеназа (типа I) < трипсин < нейтрофильная эластаза.

В эпоху применения современных биоинформационных инструментов алгоритм прогнозирования действия энзимов для извлечения АМП из различных типов сырья может отличаться от представленного в данном исследовании, так как на сегодняшний день существуют современные онлайн-ресурсы, позволяющие, к примеру, учитывать нюансы пространственного расположения белков, желаемую вероятность их расщепления и т. д. Одним из таких ресурсов является PeptideCutter (https://web.expasy.org/peptide_cutter/) [35] на базе ExPasy – биоинформационного портала Швейцарского института биоинформатики. С помощью PeptideCutter можно предсказать потенциальные сайты расщепления в АК-последовательности для некоторых протеаз (каспазы 1–10, пепсин, трипсин, Arg-C протеиназа, Asp-N эндопептидаза, энтерокиназа, нейтрофильная эластаза, пролин-эндопептидаза) или химических веществ. Тем не менее онлайн-инструменты на сегодняшний день предоставляют информацию лишь о небольшом количестве энзимов, а также существуют ограничения в доступе к некоторым из них. Таким образом, «ручной» биоинформационный анализ все еще актуален и востребован, а также демонстрирует свою применимость в проведении первичного скрининга потенциала сырья и в процессе определения подходящих энзимов для извлечения antimикробных соединений из организмов *Sus scrofa* и *Bos taurus*.

4. Выводы

Антимикробные соединения животного происхождения, в частности АМП, являются актуальными объектами исследований уже долгое время, и могут стать хорошей альтернативой antimикробным препаратам антибиотической природы. Тем не менее извлечение эндогенных АМП является затруднительным процессом и требует применения принципов направленной энзиматической обработки на основании знаний о строении предшественников данных соединений. По итогам поиска antimикробных соединений в базе данных The Antimicrobial Peptide Database было выявлено 18 antimикробных пептидов *Sus scrofa* и 40 antimикробных пептидов *Bos taurus*. Согласно результатам определения сайтов расщепления в препропептидных предшественниках АМП для трипсина, эластазы и коллагеназы, энзимы были распределены от менее предпочтительного к более предпочтительному для высвобождения АМП следующим образом: бактериальная коллагеназа (типа I) < трипсин < нейтрофильная эластаза. Такой порядок обоснован не только количеством подходящих сайтов расщепления и их точностью, но и действием ферментов внутри зрелых АМП: важно учитывать, что энзимы могут «разрезать» сами пептиды, снижая тем самым их antimикробную активность. Кроме того, известно, что активность трипсина выше с C-конца препропептида, где и локализовано большинство antimикробных пептидов у *Sus scrofa* и *Bos taurus*. Проведенный биоинформационный анализ показал эффективность как в проведении первичного скрининга потенциала сырья, так и при определении подходящих энзимов для направленного извлечения antimикробных соединений из организмов *Sus scrofa* и *Bos taurus*.

БИБЛИОГРАФИЧЕСКИЙ СПИСОК

1. Saga, T., Yamaguchi, K. (2009). History of antimicrobial agents and resistant bacteria. *Japan Medical Association Journal*, 52(2), 103–108.
2. Gensini, G. F., Conti, A. A., Lippi, D. (2007). The contributions of Paul Ehrlich to infectious disease. *Journal of Infection*, 54(3), 221–224. <https://doi.org/10.1016/j.jinf.2004.05.022>
3. Wang, J., Dou, X., Song, J., Lyu, Y., Zhu, X., Xu, L. et al. (2019). Antimicrobial peptides: Promising alternatives in the post feeding antibiotic era. *Medicinal Research Reviews*, 39(3), 831–859. <https://doi.org/10.1002/med.21542>
4. Magana, M., Pushpanathan, M., Santos, A. L., Leanne, L., Fernandez, M., Ioannidis, A. et al. (2020). The value of antimicrobial peptides in the age of resistance. *The Lancet Infectious Diseases*, 20(9), e216–e230. [https://doi.org/10.1016/S1473-3099\(20\)30327-3](https://doi.org/10.1016/S1473-3099(20)30327-3)
5. Bechinger, B., Gorr, S.-U. (2017). Antimicrobial peptides: Mechanisms of action and resistance. *Journal of Dental Research*, 96(3), 254–260. <https://doi.org/10.1177/0022034516679973>
6. APD3: Antimicrobial Peptide Database. Retrieved from <https://aps.unmc.edu/>. Accessed January 24, 2024.
7. Katedra Biochemii Żywości. Bioactive peptide databases. Retrieved from <https://biochemia.uwm.edu.pl/bioactive-peptide-databases/>. Accessed January 24, 2024.
8. Huan, Y., Kong, Q., Mou, H., Yi, H. (2020). Antimicrobial peptides: Classification, design, application and research progress in multiple fields. *Frontiers in Microbiology*, 11, Article 582779. <https://doi.org/10.3389/fmicb.2020.582779>
9. Bhattacharjya, S., Mohid, S. A., Bhunia, A. (2022). Atomic-resolution structures and mode of action of clinically relevant antimicrobial peptides. *International Journal of Molecular Sciences*, 23(9), Article 4558. <https://doi.org/10.3390/ijms23094558>
10. Reddy, K. V. R., Yedery, R. D., Aranha, C. (2004). Antimicrobial peptides: Premises and promises. *International Journal of Antimicrobial Agents*, 24(6), 536–547. <https://doi.org/10.1016/j.ijantimicag.2004.09.005>
11. Hanson, M. A., Lemaitre, B., Unckless, R. L. (2019). Dynamic evolution of antimicrobial peptides underscores trade-offs between immunity and ecological fitness. *Frontiers in Immunology*, 10, Article 2620. <https://doi.org/10.3389/fimmu.2019.02620>
12. Zhang, L.-J., Gallo, R. L. (2016). Antimicrobial peptides. *Current Biology*, 26(1), R14–R19. <https://doi.org/10.1016/j.cub.2015.11.017>
13. Keymanesh, K., Soltani, S., Sardari, S. (2009). Application of antimicrobial peptides in agriculture and food industry. *World Journal of Microbiology and Biotechnology*, 25(6), 933–944. <https://doi.org/10.1007/s11274-009-9984-7>
14. Barashkova, A. S., Rogozhin, E. A. (2020). Isolation of antimicrobial peptides from different plant sources: Does a general extraction method exist? *Plant Methods*, 16(1), Article 145. <https://doi.org/10.1186/s13007-020-00687-1>
15. Sultana, A., Luo, H., Ramakrishna, S. (2021). Harvesting of antimicrobial peptides from insect (*Hermetia illucens*) and its applications in the food packaging. *Applied Sciences*, 11(15), Article 6991. <https://doi.org/10.3390/app11156991>

16. Vizioli, J., Salzet, M. (2002). Antimicrobial peptides from animals: Focus on invertebrates. *Trends in Pharmacological Sciences*, 23(11), 494–496. [https://doi.org/10.1016/S0165-6147\(02\)02105-3](https://doi.org/10.1016/S0165-6147(02)02105-3)
17. UniProt Protein Database. Retrieved from <http://www.uniprot.org/>. Accessed January 24, 2024.
18. Dau, T., Bartolomucci, G., Rappaport, J. (2020). Proteomics using protease alternatives to trypsin benefits from sequential digestion with trypsin. *Analytical Chemistry*, 92(14), 9523–9527. <https://doi.org/10.1021/acs.analchem.0c00478>
19. Trypsin-1. Retrieved from <https://www.uniprot.org/uniprot/P07477>. Accessed January 25, 2024.
20. Bioinformatics explained: Proteolytic cleavage. QIAGEN Digital Insights. Retrieved from https://resources.qiagenbioinformatics.com/manuals/clcgenomic-workbench/650/BE_Proteolytic_cleavage.html. Accessed February 6, 2024.
21. Ebbesengaard, A., Mordhorst, H., Overgaard, M. T., Nielsen, C. G., Aarestrup, F. M., Hansen, E. B. (2015). Comparative evaluation of the antimicrobial activity of different antimicrobial peptides against a range of pathogenic bacteria. *PLoS ONE*, 10(12), Article e0144611. <https://doi.org/10.1371/journal.pone.0144611>
22. Daneshi, M., Caton, J. S., Caixeta, L. S., Eftekhar, Z., Ward, A. K. (2023). Expression, regulation, and function of β-defensins in the bovine mammary glands: Current knowledge and future perspectives. *Animals*, 13(21), Article 3372. <https://doi.org/10.3390/ani13213372>
23. Elastase, neutrophil expressed. Retrieved from <https://www.uniprot.org/uniprot/A0A286ZN14>. Accessed January 24, 2024.
24. Vizovišek, M., Vidmar, R., Fonovič, M., Turk, B. (2016). Current trends and challenges in proteomic identification of protease substrates. *Biochimie*, 122, 77–87. <https://doi.org/10.1016/j.biochi.2015.10.017>
25. Degasperi, M., Sgarra, R., Mardirossian, M., Pacor, S., Maschio, M., Scocchi, M. (2022). Elastase-activated antimicrobial peptide for a safer pulmonary treatment of cystic fibrosis infections. *Antibiotics*, 11(3), Article 319. <https://doi.org/10.3390/antibiotics11030319>
26. Collagenase ColG. Retrieved from <https://www.uniprot.org/uniprotkb/Q9X721/entry>. Accessed February 6, 2024.
27. Eckhard, U., Huesgen, P. F., Brandstetter, H., Overall, C. M. (2014). Proteomic protease specificity profiling of clostridial collagenases reveals their intrinsic nature as dedicated degraders of collagen. *Journal of Proteomics*, 100, 102–114. <https://doi.org/10.1016/j.jprot.2013.10.004>
28. Cantisani, M., Finamore, E., Mignogna, E., Falanga, A., Nicoletti, G. F., Pedone, C. et al. (2014). Structural insights into and activity analysis of the antimicrobial peptide myxinidin. *Antimicrobial Agents and Chemotherapy*, 58(9), 5280–5290. <https://doi.org/10.1128/AAC.02395-14>
29. Lukinova, E. A., Kotenkova, E. A., Polischuk, E. K. (2018). Изучение антимикробных свойств биологически активных веществ животного происхождения в зависимости от методологии их выделения. *Теория и практика переработки мяса*, 3(5), 27–35. <https://doi.org/10.21323/2414-438X-2018-3-3-27-35>
30. Кораблева, Е. С., Берлов, У., Андреева, Ю. В., Кокряков, В. Н. (2007). Антимикробный пептид из лейкоцитов собаки: структурно-функциональные свойства. *Вестник Санкт-Петербургского университета. Серия 3. Биология*, 3, 80–88.
31. Юхнев, В. А., Шартукова, М. А., Луговкина, Н. В., Кокряков, В. Н., Шамова, О. В. (2014). Поиски новых антимикробных пептидов из семейства кателицидинов и дефенсивов в лейкоцитах лося (Alces alces). *Вестник СПбГУ. Серия 3. Биология*, 1, 115–131.
32. Wirnt, R. (1965). Trypsin. Chapter in a book: Methods of Enzymatic Analysis. Academic Press, 1965. <https://doi.org/10.1016/B978-0-12-395630-9.50146-8>
33. Creative Enzymes. Collagenase. Retrieved from https://www.creative-enzymes.com/similar/collagenase_148.html. Accessed February 5, 2024.
34. Korkmaz, B., Gauthier, F. (2013). Elastase-2/Leukocyte Elastase. Chapter in a book: Handbook of Proteolytic Enzymes. Academic Press, 2013. <https://doi.org/10.1016/B978-0-12-382219-2.00587-1>
35. Expasy. PeptideCutter. Retrieved from https://web.expasy.org/peptide_cutter/. Accessed February 5, 2024.

REFERENCES

1. Saga, T., Yamaguchi, K. (2009). History of antimicrobial agents and resistant bacteria. *Japan Medical Association Journal*, 52(2), 103–108.
2. Gensini, G. F., Conti, A. A., Lippi, D. (2007). The contributions of Paul Ehrlich to infectious disease. *Journal of Infection*, 54(3), 221–224. <https://doi.org/10.1016/j.jinf.2004.05.022>
3. Wang, J., Dou, X., Song, J., Lyu, Y., Zhu, X., Xu, L. et al. (2019). Antimicrobial peptides: Promising alternatives in the post antibiotic era. *Medicinal Research Reviews*, 39(3), 831–859. <https://doi.org/10.1002/med.21542>
4. Magana, M., Pushpanathan, M., Santos, A. L., Leanse, L., Fernandez, M., Ioannidis, A. et al. (2020). The value of antimicrobial peptides in the age of resistance. *The Lancet Infectious Diseases*, 20(9), e216–e230. [https://doi.org/10.1016/S1473-3099\(20\)30327-3](https://doi.org/10.1016/S1473-3099(20)30327-3)
5. Bechinger, B., Gorr, S.-U. (2017). Antimicrobial peptides: Mechanisms of action and resistance. *Journal of Dental Research*, 96(3), 254–260. <https://doi.org/10.1177/0022034516679973>
6. APD3: Antimicrobial Peptide Database. Retrieved from <https://aps.unmc.edu/>. Accessed January 24, 2024.
7. Katedra Biochemii Żywności. Bioactive peptide databases. Retrieved from <https://biochemia.uwm.edu.pl/bioactive-peptide-databases/>. Accessed January 24, 2024.
8. Huan, Y., Kong, Q., Mou, H., Yi, H. (2020). Antimicrobial peptides: Classification, design, application and research progress in multiple fields. *Frontiers in Microbiology*, 11, Article 582779. <https://doi.org/10.3389/fmicb.2020.582779>
9. Bhattacharjya, S., Mohid, S. A., Bhunia, A. (2022). Atomic-resolution structures and mode of action of clinically relevant antimicrobial peptides. *International Journal of Molecular Sciences*, 23(9), Article 4558. <https://doi.org/10.3390/ijms23094558>
10. Reddy, K. V. R., Yedery, R. D., Aranha, C. (2004). Antimicrobial peptides: Premises and promises. *International Journal of Antimicrobial Agents*, 24(6), 536–547. <https://doi.org/10.1016/j.ijantimicag.2004.09.005>
11. Hanson, M. A., Lemaitre, B., Unckless, R. L. (2019). Dynamic evolution of antimicrobial peptides underscores trade-offs between immunity and ecological fitness. *Frontiers in Immunology*, 10, Article 2620. <https://doi.org/10.3389/fimmu.2019.02620>
12. Zhang, L.-J., Gallo, R. L. (2016). Antimicrobial peptides. *Current Biology*, 26(1), R14–R19. <https://doi.org/10.1016/j.cub.2015.11.017>
13. Keymanesh, K., Soltani, S., Sardari, S. (2009). Application of antimicrobial peptides in agriculture and food industry. *World Journal of Microbiology and Biotechnology*, 25(6), 933–944. <https://doi.org/10.1007/s11274-009-9984-7>
14. Barashkova, A. S., Rogozhin, E. A. (2020). Isolation of antimicrobial peptides from different plant sources: Does a general extraction method exist? *Plant Methods*, 16(1), Article 143. <https://doi.org/10.1186/s13007-020-00687-1>
15. Sultana, A., Luo, H., Ramakrishna, S. (2021). Harvesting of antimicrobial peptides from insect (*Hermetia illucens*) and its applications in the food packaging. *Applied Sciences*, 11(15), Article 6991. <https://doi.org/10.3390/app11156991>
16. Vizioli, J., Salzet, M. (2002). Antimicrobial peptides from animals: Focus on invertebrates. *Trends in Pharmacological Sciences*, 23(11), 494–496. [https://doi.org/10.1016/S0165-6147\(02\)02105-3](https://doi.org/10.1016/S0165-6147(02)02105-3)
17. UniProt Protein Database. Retrieved from <http://www.uniprot.org/>. Accessed January 24, 2024.
18. Dau, T., Bartolomucci, G., Rappaport, J. (2020). Proteomics using protease alternatives to trypsin benefits from sequential digestion with trypsin. *Analytical Chemistry*, 92(14), 9523–9527. <https://doi.org/10.1021/acs.analchem.0c00478>
19. Trypsin-1. Retrieved from <https://www.uniprot.org/uniprot/P07477>. Accessed January 25, 2024.
20. Bioinformatics explained: Proteolytic cleavage. QIAGEN Digital Insights. Retrieved from https://resources.qiagenbioinformatics.com/manuals/clcgenomic-workbench/650/BE_Proteolytic_cleavage.html. Accessed February 6, 2024.
21. Ebbesengaard, A., Mordhorst, H., Overgaard, M. T., Nielsen, C. G., Aarestrup, F. M., Hansen, E. B. (2015). Comparative evaluation of the antimicrobial activity of different antimicrobial peptides against a range of pathogenic bacteria. *PLoS ONE*, 10(12), Article e0144611. <https://doi.org/10.1371/journal.pone.0144611>
22. Daneshi, M., Caton, J. S., Caixeta, L. S., Eftekhar, Z., Ward, A. K. (2023). Expression, regulation, and function of β-defensins in the bovine mammary glands: Current knowledge and future perspectives. *Animals*, 13(21), Article 3372. <https://doi.org/10.3390/ani13213372>
23. Elastase, neutrophil expressed. Retrieved from <https://www.uniprot.org/uniprot/A0A286ZN14>. Accessed January 24, 2024.
24. Vizovišek, M., Vidmar, R., Fonovič, M., Turk, B. (2016). Current trends and challenges in proteomic identification of protease substrates. *Biochimie*, 122, 77–87. <https://doi.org/10.1016/j.biochi.2015.10.017>
25. Degasperi, M., Sgarra, R., Mardirossian, M., Pacor, S., Maschio, M., Scocchi, M. (2022). Elastase-activated antimicrobial peptide for a safer pulmonary treatment of cystic fibrosis infections. *Antibiotics*, 11(3), Article 319. <https://doi.org/10.3390/antibiotics11030319>
26. Collagenase ColG. Retrieved from <https://www.uniprot.org/uniprotkb/Q9X721/entry>. Accessed February 6, 2024.
27. Eckhard, U., Huesgen, P. F., Brandstetter, H., Overall, C. M. (2014). Proteomic protease specificity profiling of clostridial collagenases reveals their intrinsic nature as dedicated degraders of collagen. *Journal of Proteomics*, 100, 102–114. <https://doi.org/10.1016/j.jprot.2013.10.004>
28. Cantisani, M., Finamore, E., Mignogna, E., Falanga, A., Nicoletti, G. F., Pedone, C. et al. (2014). Structural insights into and activity analysis of the antimicrobial peptide myxinidin. *Antimicrobial Agents and Chemotherapy*, 58(9), 5280–5290. <https://doi.org/10.1128/AAC.02395-14>
29. Lukinova, E. A., Kotenkova, E. A., Polischuk, E. K. (2018). Influence of approaches to isolation of animal bioactive substances on antimicrobial action. *Theory and Practice of Meat Processing*, 3(3), 27–35. <https://doi.org/10.21323/2414-438X-2018-3-3-27-35> (In Russian)
30. Korableva, E. S., Berlov, Y., Andreeva, Y. V., Kokryakov, V. N. (2007). Antimicrobial peptide from canine leukocytes: Structural-functional properties. *Vestnik of Saint Petersburg University. Series 3. Biology*, 1, 80–88. (In Russian)
31. Yuhnev, V. A., Shartukova, M. A., Lugovkina, N. V., Kokryakov, V. N., Shamova, O. V. (2014). Search of novel antimicrobial peptides of the cathelicidins and defensins families in moose (Alces alces) leucocytes. *Vestnik of Saint Petersburg University. Series 3. Biology*, 1, 115–131. (In Russian)
32. Wirnt, R. (1965). Trypsin. Chapter in a book: Methods of Enzymatic Analysis. Academic Press, 1965. <https://doi.org/10.1016/B978-0-12-395630-9.50146-8>
33. Creative Enzymes. Collagenase. Retrieved from https://www.creative-enzymes.com/similar/collagenase_148.html. Accessed February 5, 2024.
34. Korkmaz, B., Gauthier, F. (2013). Elastase-2/Leukocyte Elastase. Chapter in a book: Handbook of Proteolytic Enzymes. Academic Press, 2013. <https://doi.org/10.1016/B978-0-12-382219-2.00587-1>
35. Expasy. PeptideCutter. Retrieved from https://web.expasy.org/peptide_cutter/. Accessed February 5, 2024.

СВЕДЕНИЯ ОБ АВТОРАХ	AUTHOR INFORMATION
При надлежность к организации	Affiliation
<p>Полищук Екатерина Константиновна — младший научный сотрудник, Экспериментальная клиника-лаборатория биологически активных веществ животного происхождения, ФНЦ пищевых систем им. В. М. Горбатова 109316, Москва, ул. Талалихина, 26 Тел.: +7-495-676-95-11 (доб.129) E-mail: e.politchuk@fncps.ru ORCID: https://orcid.org/0000-0003-2719-9649 * автор для контактов</p>	<p>Ekaterina K. Polishchuk, Junior Researcher, Experimental Clinic — Research Laboratory of Biologically Active Substances of an Animal Origin, V. M. Gorbatov Federal Research Center for Food Systems 26, Talalikhina str., 109316, Moscow, Russia Tel.: +7-495-676-95-11 (129) E-mail: e.politchuk@fncps.ru ORCID: https://orcid.org/0000-0003-2719-9649 * corresponding author</p>
<p>Котенкова Елена Александровна — кандидат технических наук, старший научный сотрудник, Экспериментальная клиника- лаборатория биологически активных веществ животного происхождения, Федеральный научный центр пищевых систем им. В. М. Горбатова 109316, Москва, ул. Талалихина, 26 Тел.: +7-495-676-92-11 (доб.129) E-mail: lazovlena92@yandex.ru ORCID: https://orcid.org/0000-0003-1864-8115</p>	<p>Elena A. Kotenkova, Candidate of Technical Sciences, Senior Researcher, Experimental Clinic — Research Laboratory of Biologically Active Substances of an Animal Origin, V. M. Gorbatov Federal Research Center for Food Systems 26, Talalikhina str., 109316, Moscow, Russia Tel.: +7-495-676-92-11 (129) E-mail: lazovlena92@yandex.ru ORCID: https://orcid.org/0000-0003-1864-8115</p>
Критерии авторства	Contribution
<p>Концептуализация — Котенкова Е. А., Полищук Е. К. Проведение исследования — Полищук Е. К. Методология — Котенкова Е. А., Полищук Е. К. Курирование данных — Котенкова Е. А. Написание статьи — Полищук Е. К. Написание статьи (просмотр и редактирование) — Котенкова Е. А.</p>	<p>Conceptualization — Kotenkova E. A., Polishchuk E. K. Investigation — Polishchuk E. K. Methodology — Kotenkova E. A., Polishchuk E. K. Data curation — Kotenkova E. A. Writing (original draft) — Polishchuk E. K. Writing (review and editing) — Kotenkova E. A.</p>
Конфликт интересов	Conflict of interest
Авторы заявляют об отсутствии конфликта интересов.	The authors declare no conflict of interest.